

FIG. 5

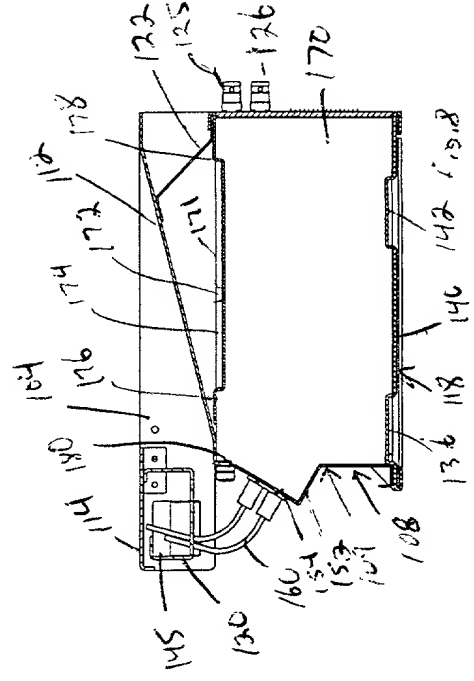
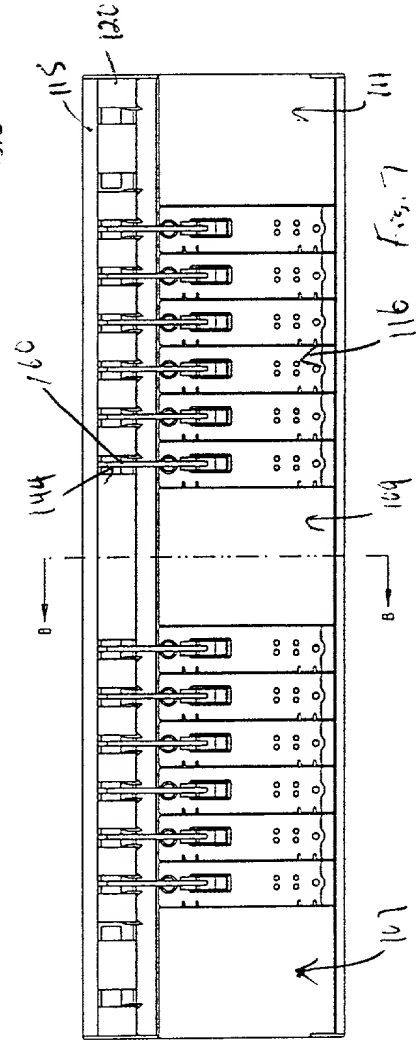


FIG. 7

FIG. 8

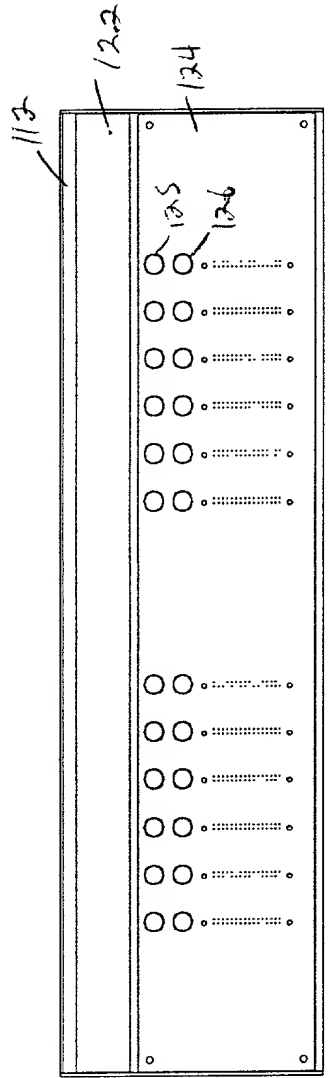
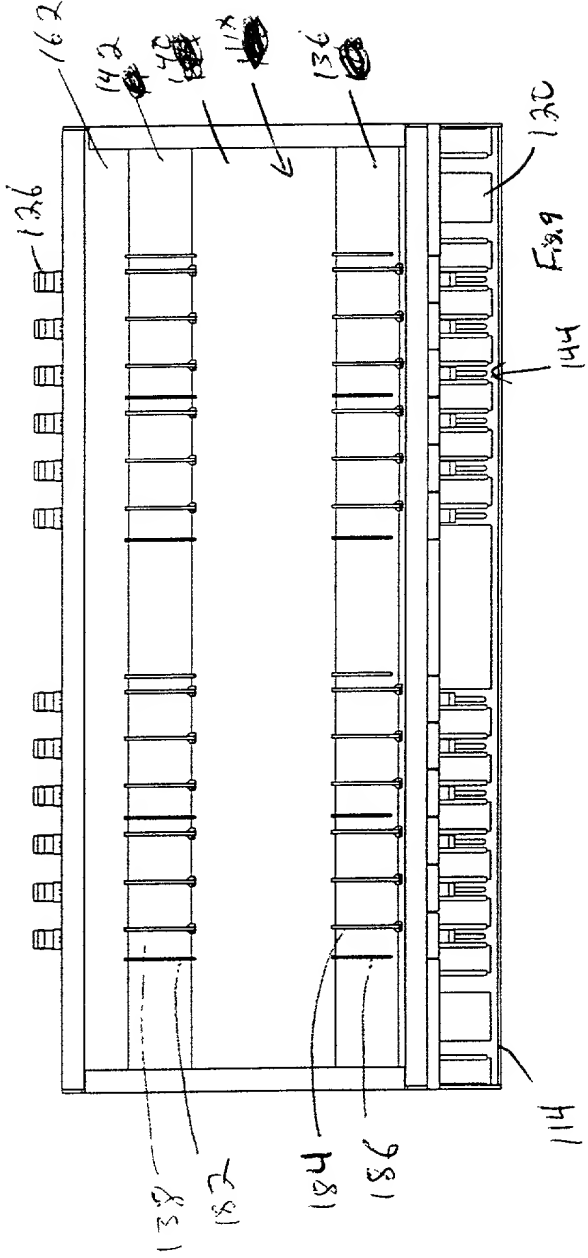
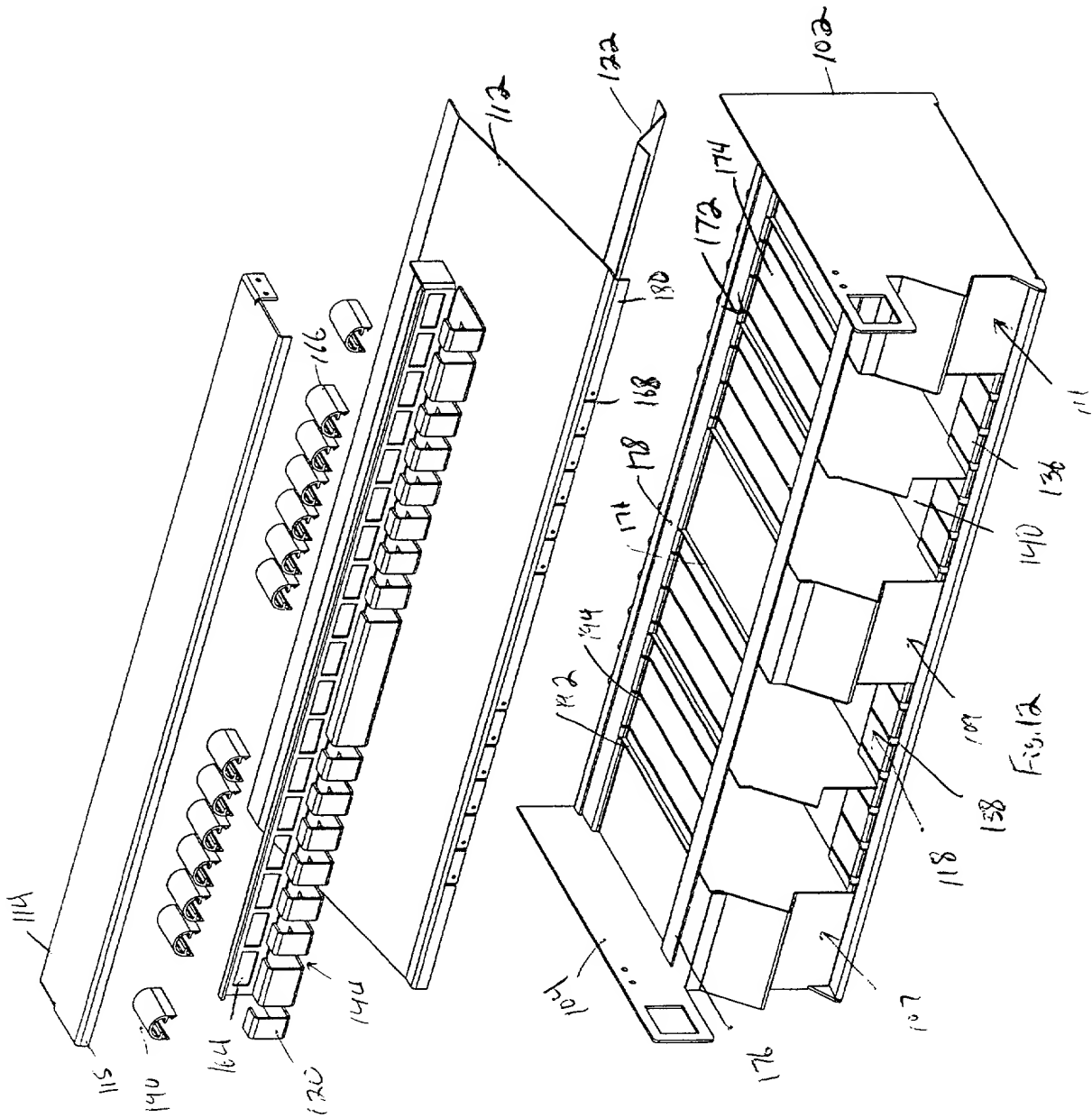
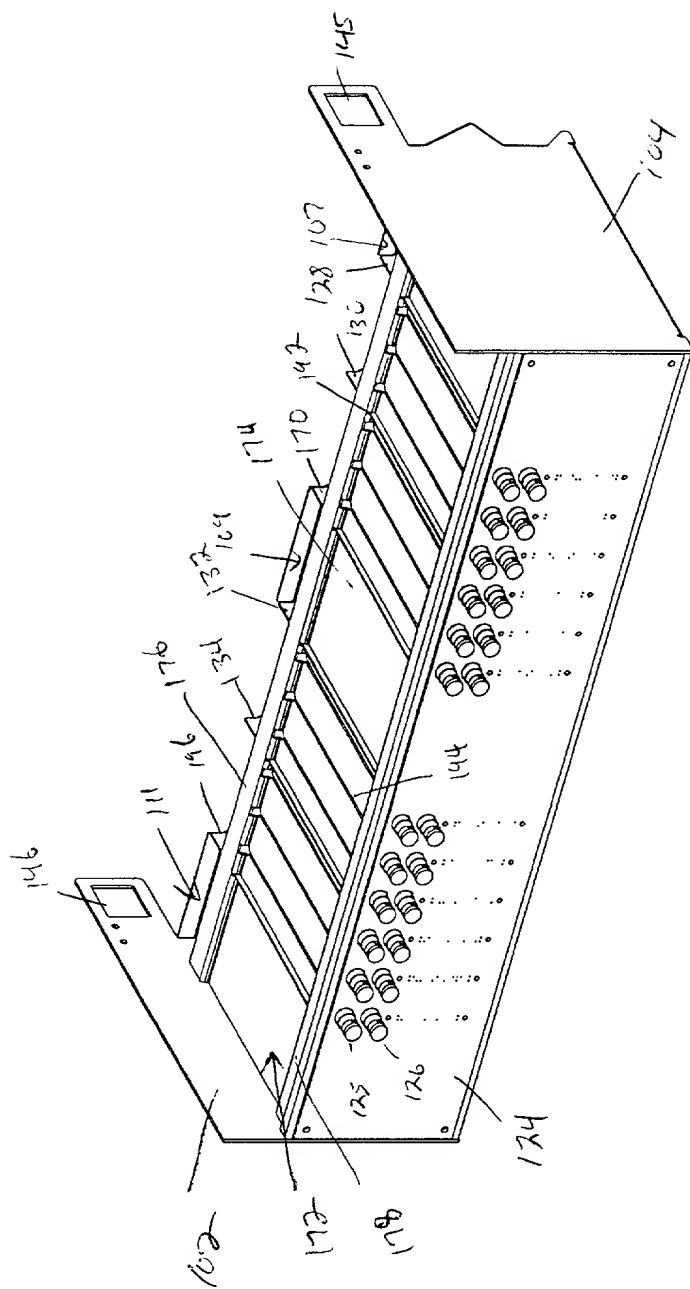


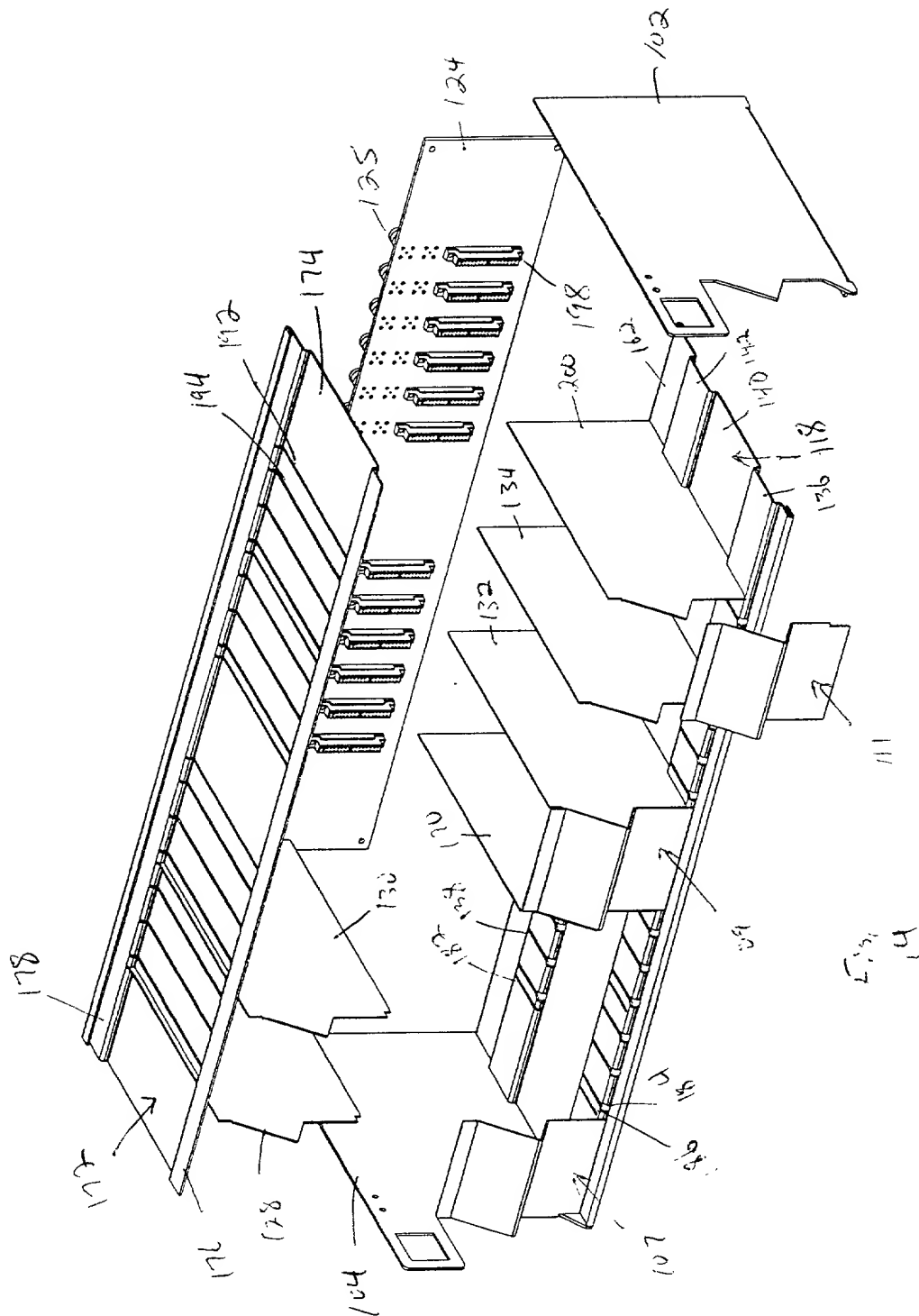
Fig. 10

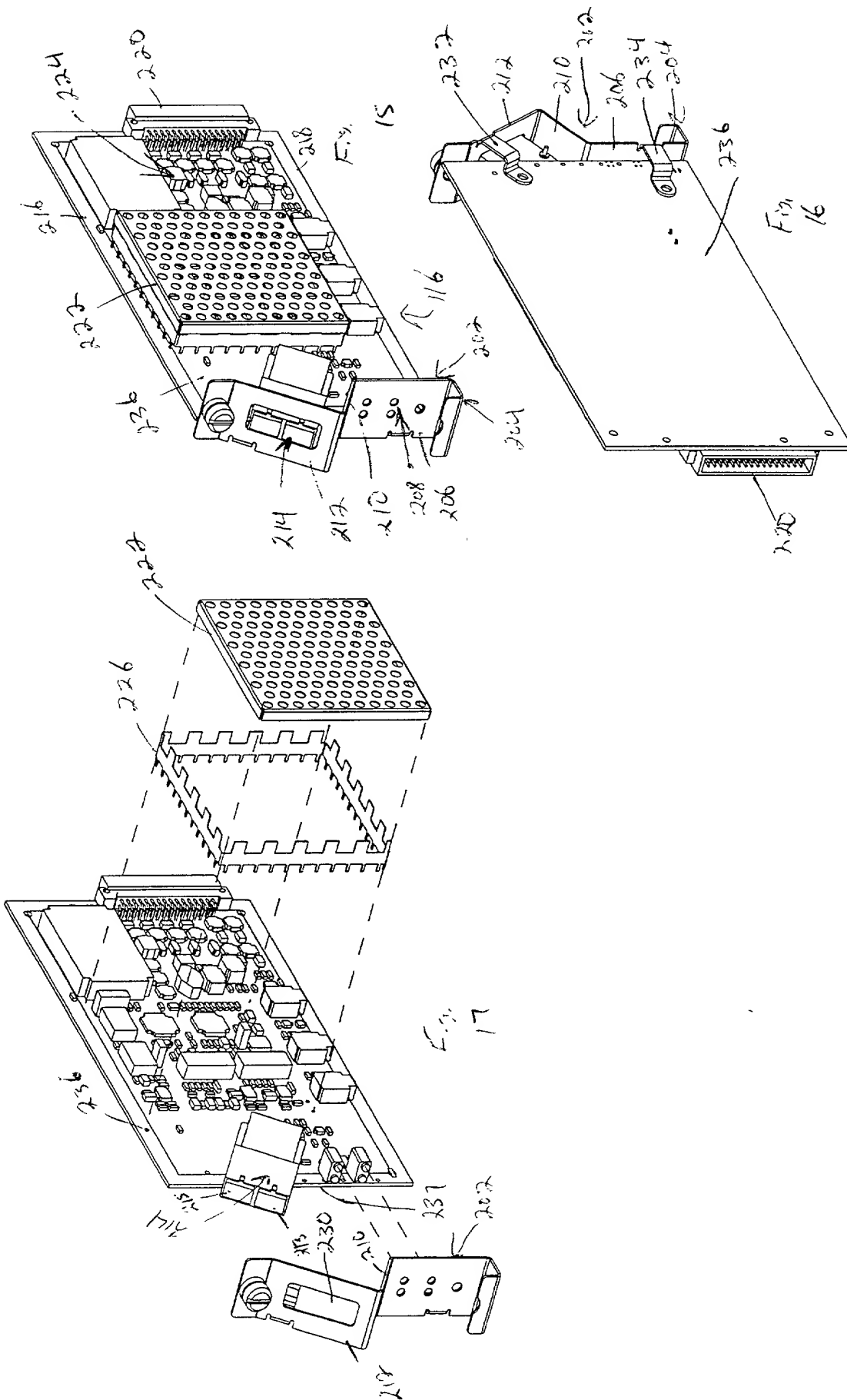


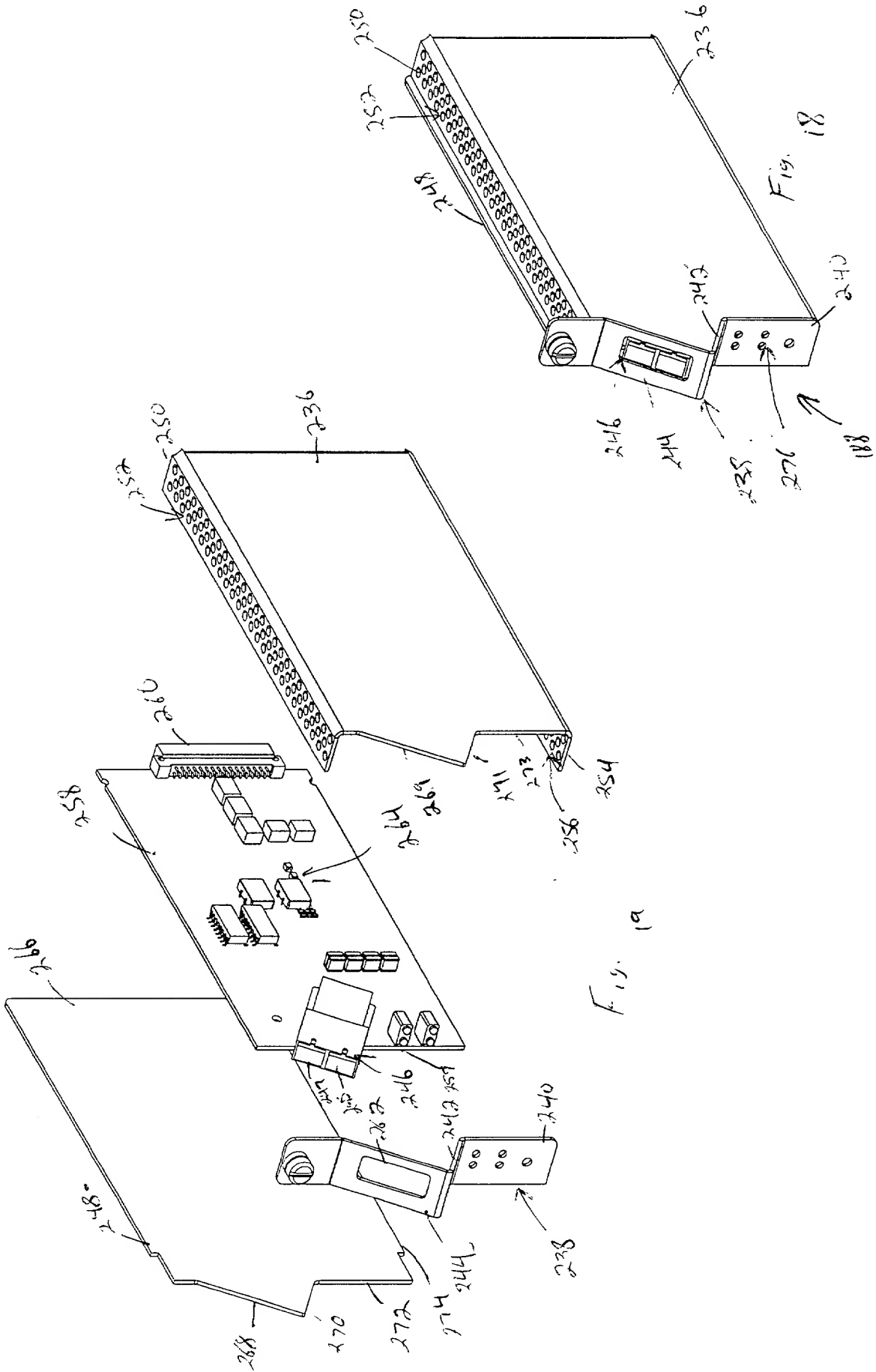




15/3







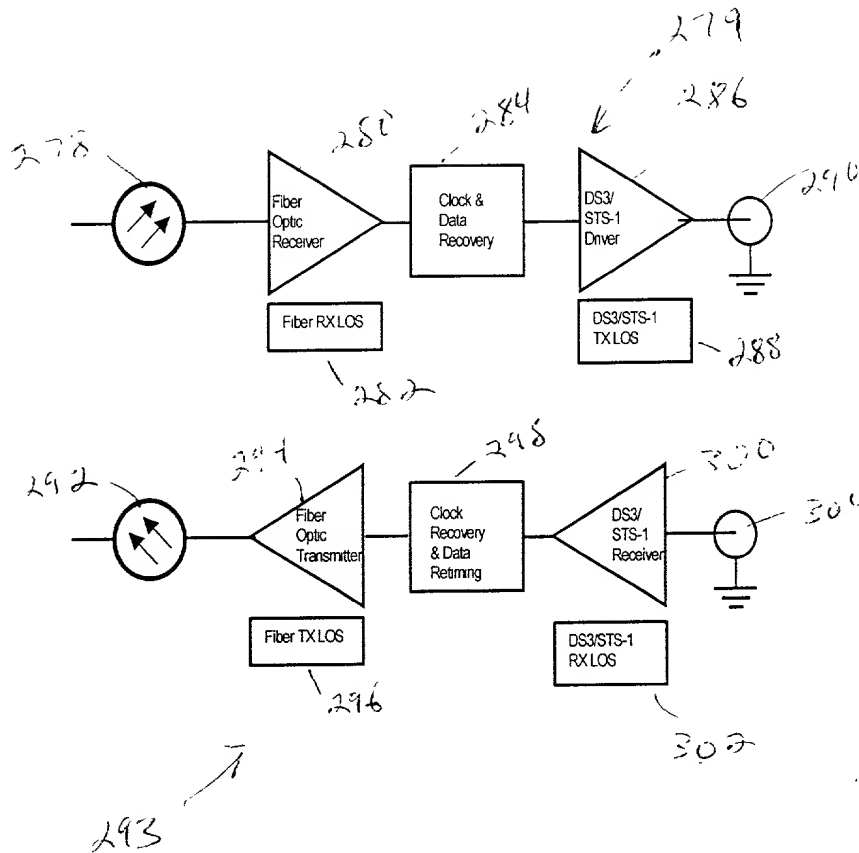


FIG. 20

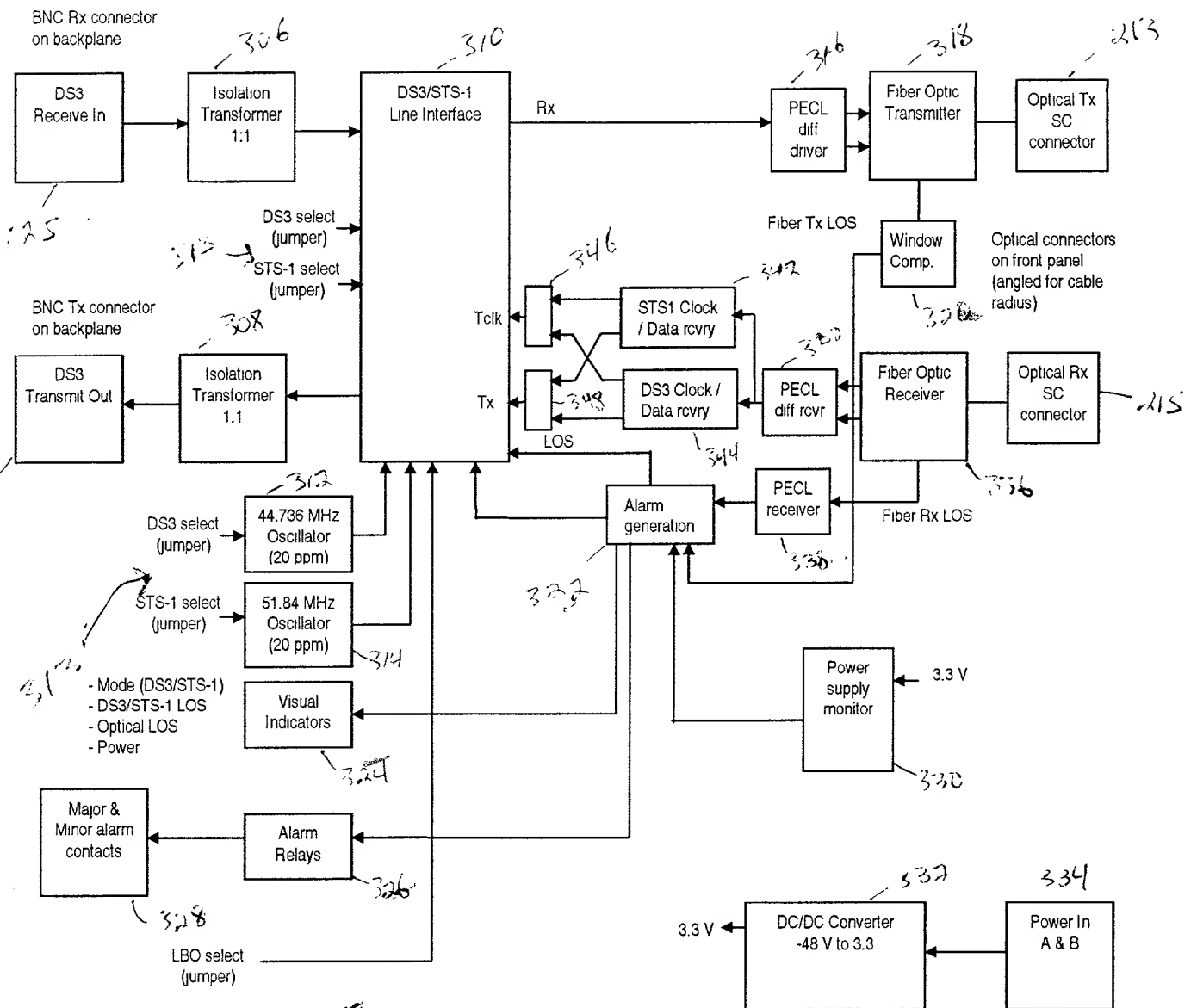


Fig.
21

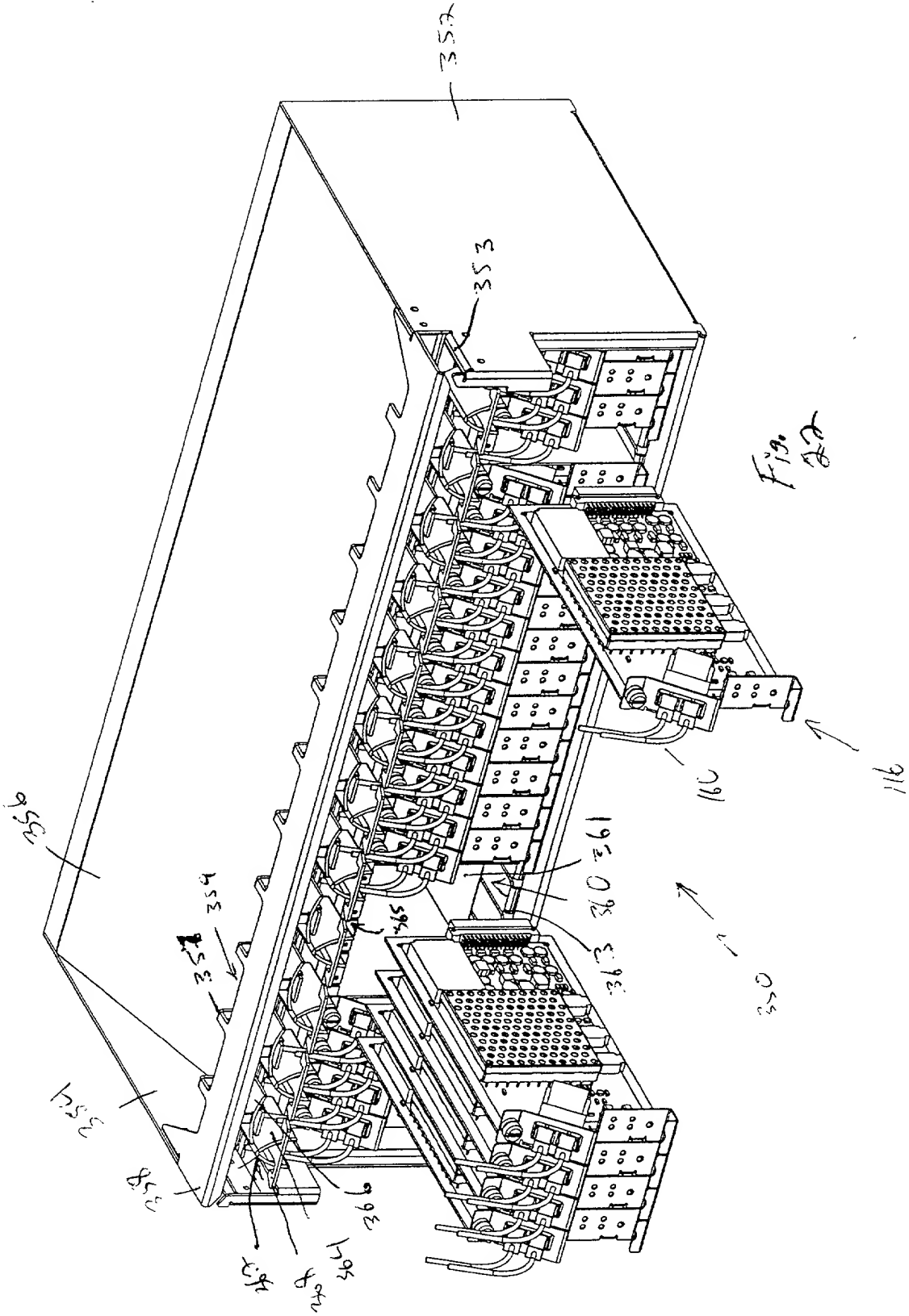


Fig. 22

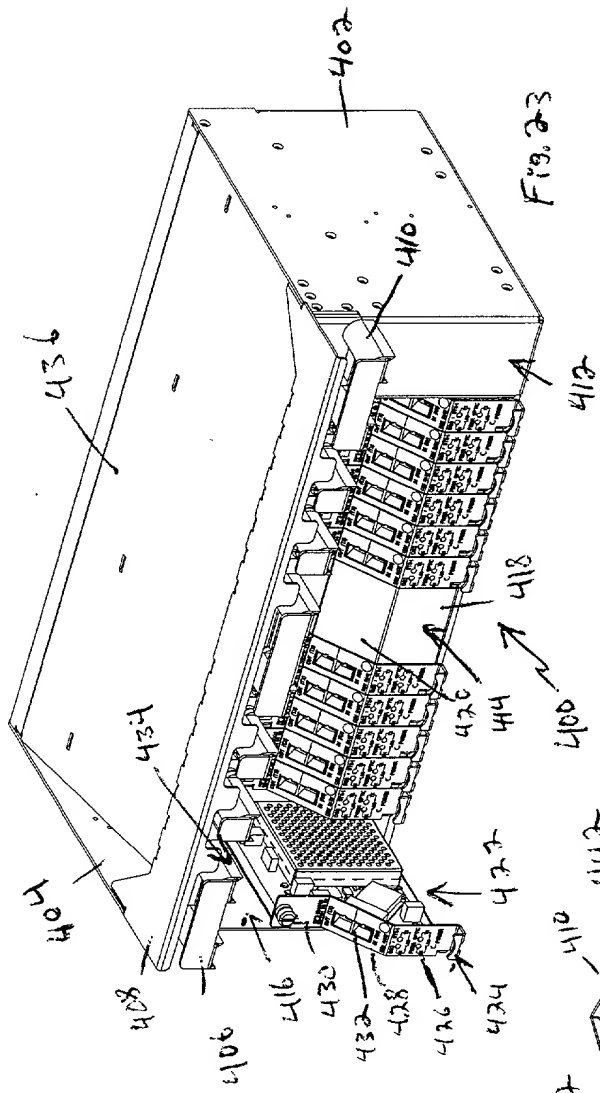


FIG. 23

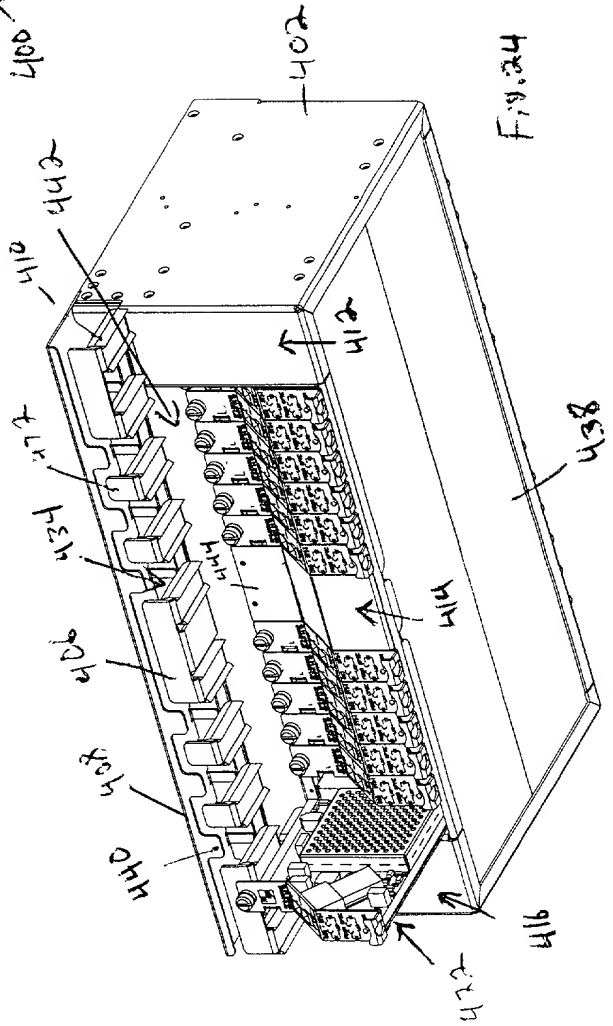
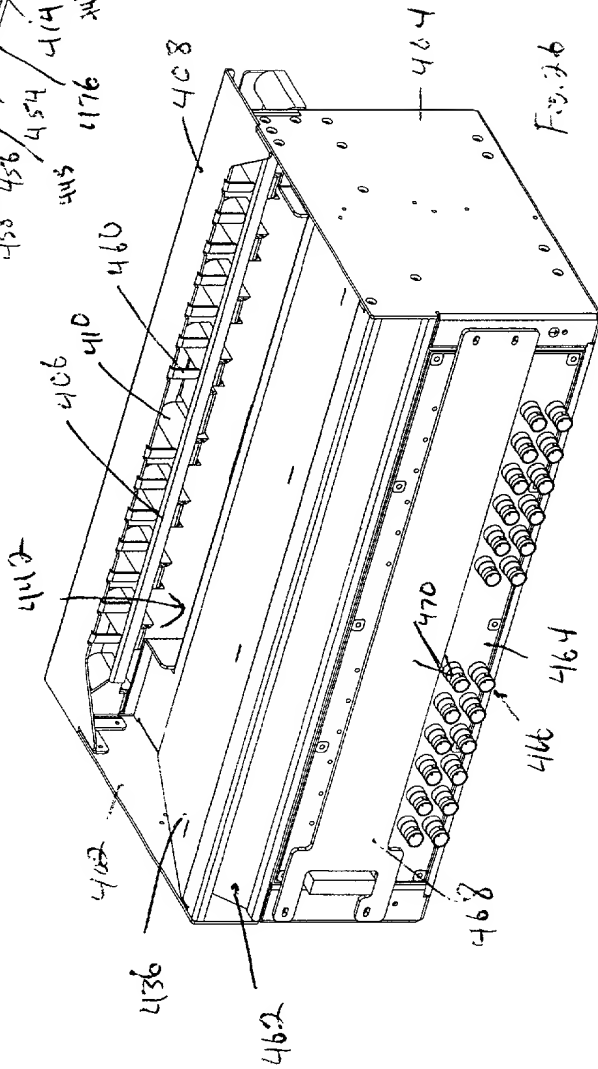
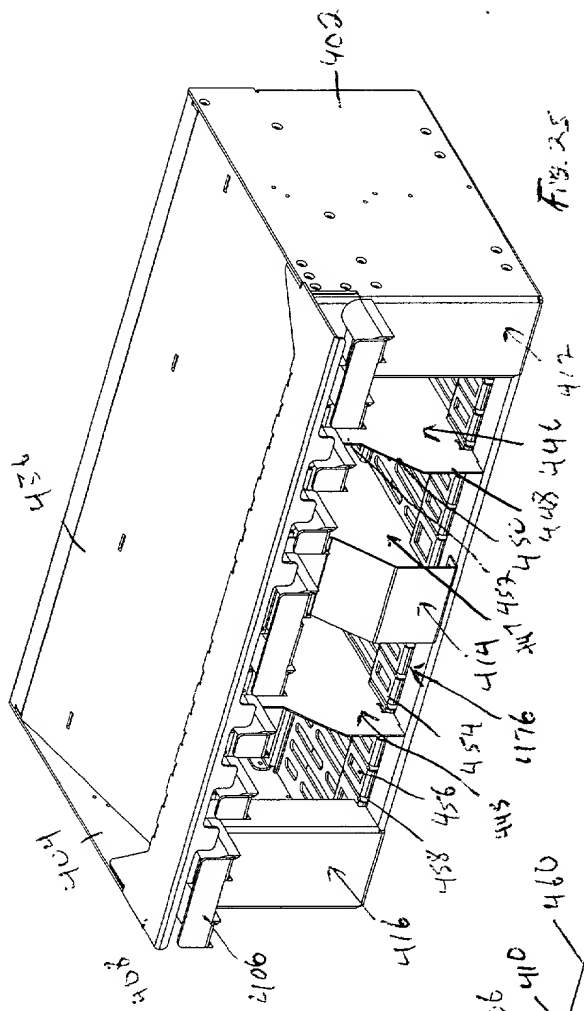


FIG. 24



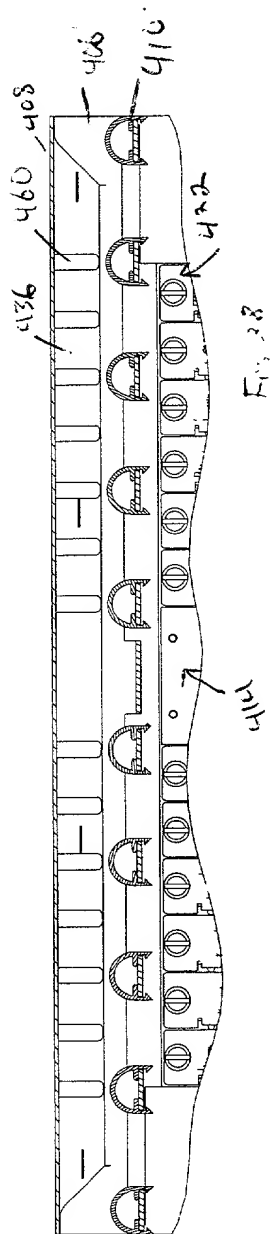


FIG. 28

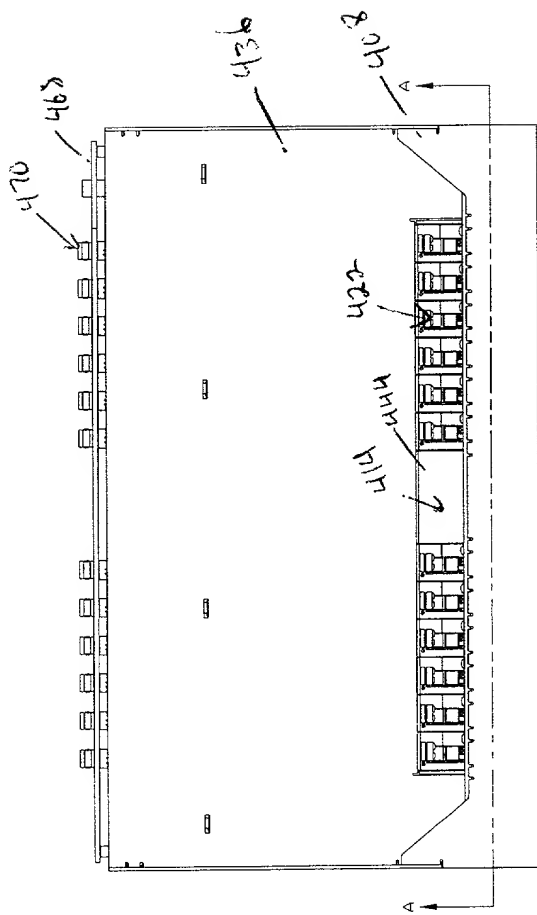


FIG. 27

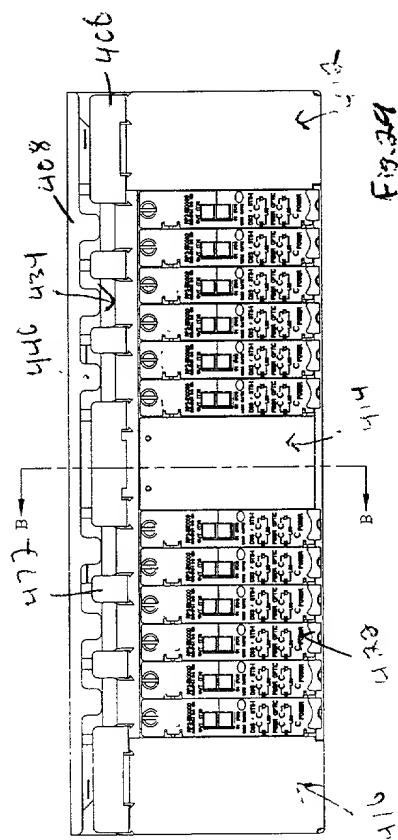


FIG. 29

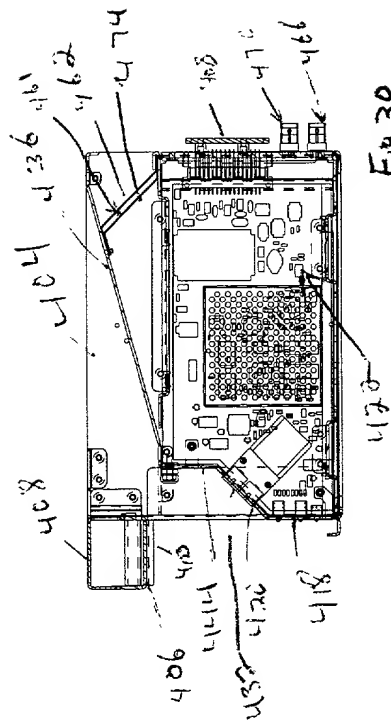
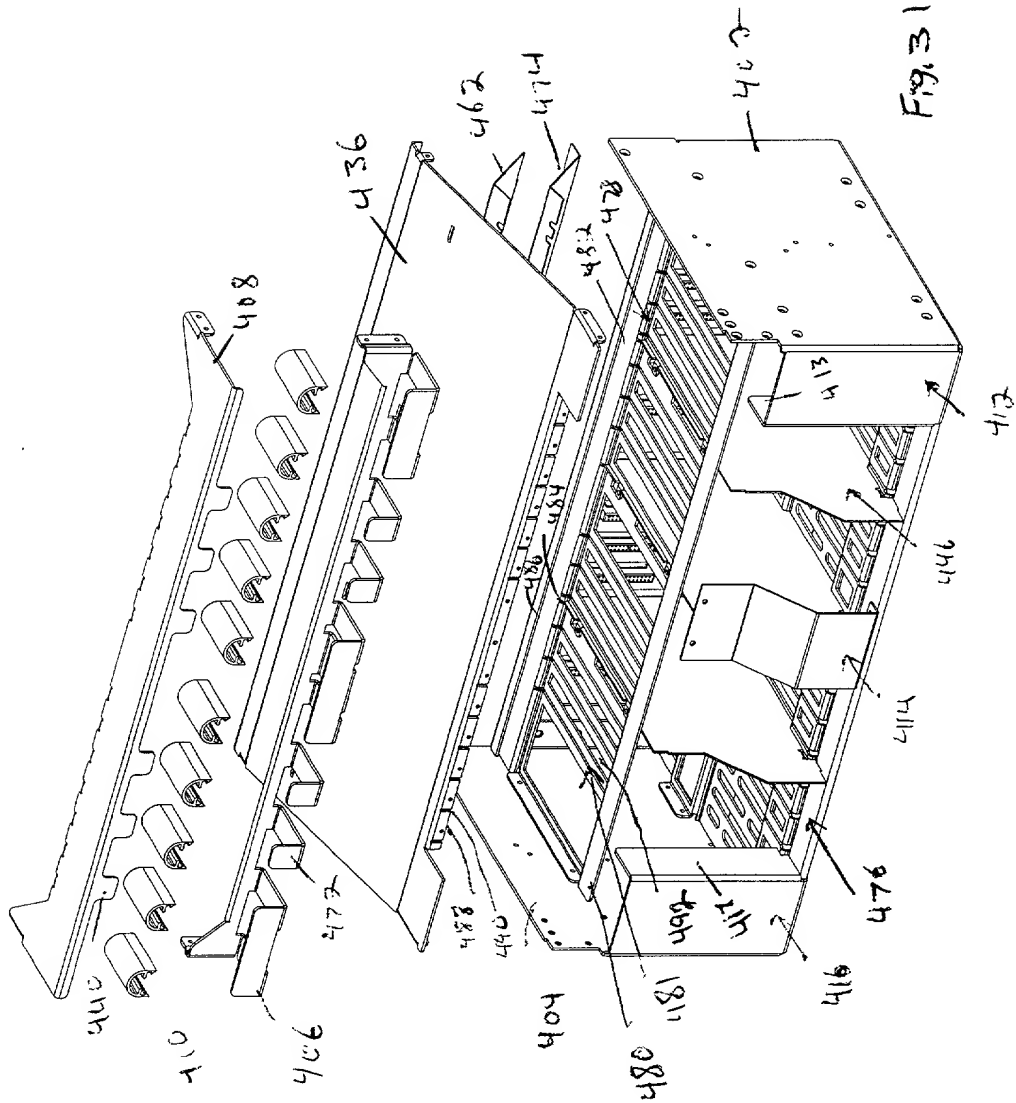


FIG. 30



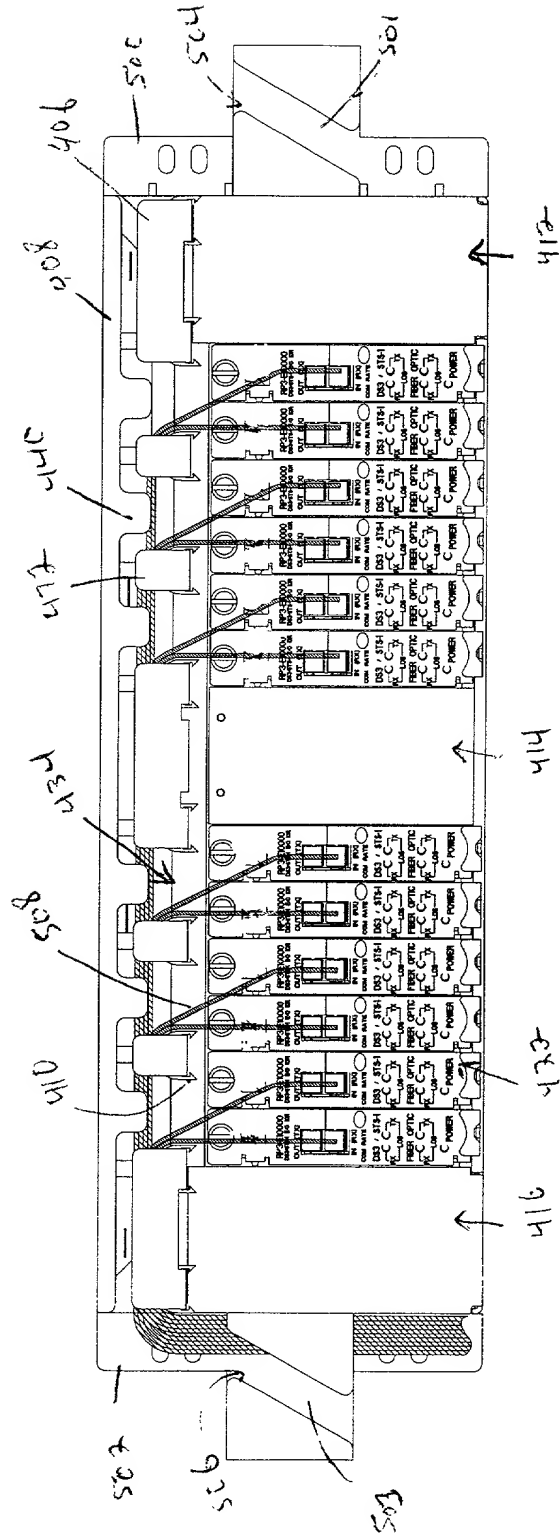
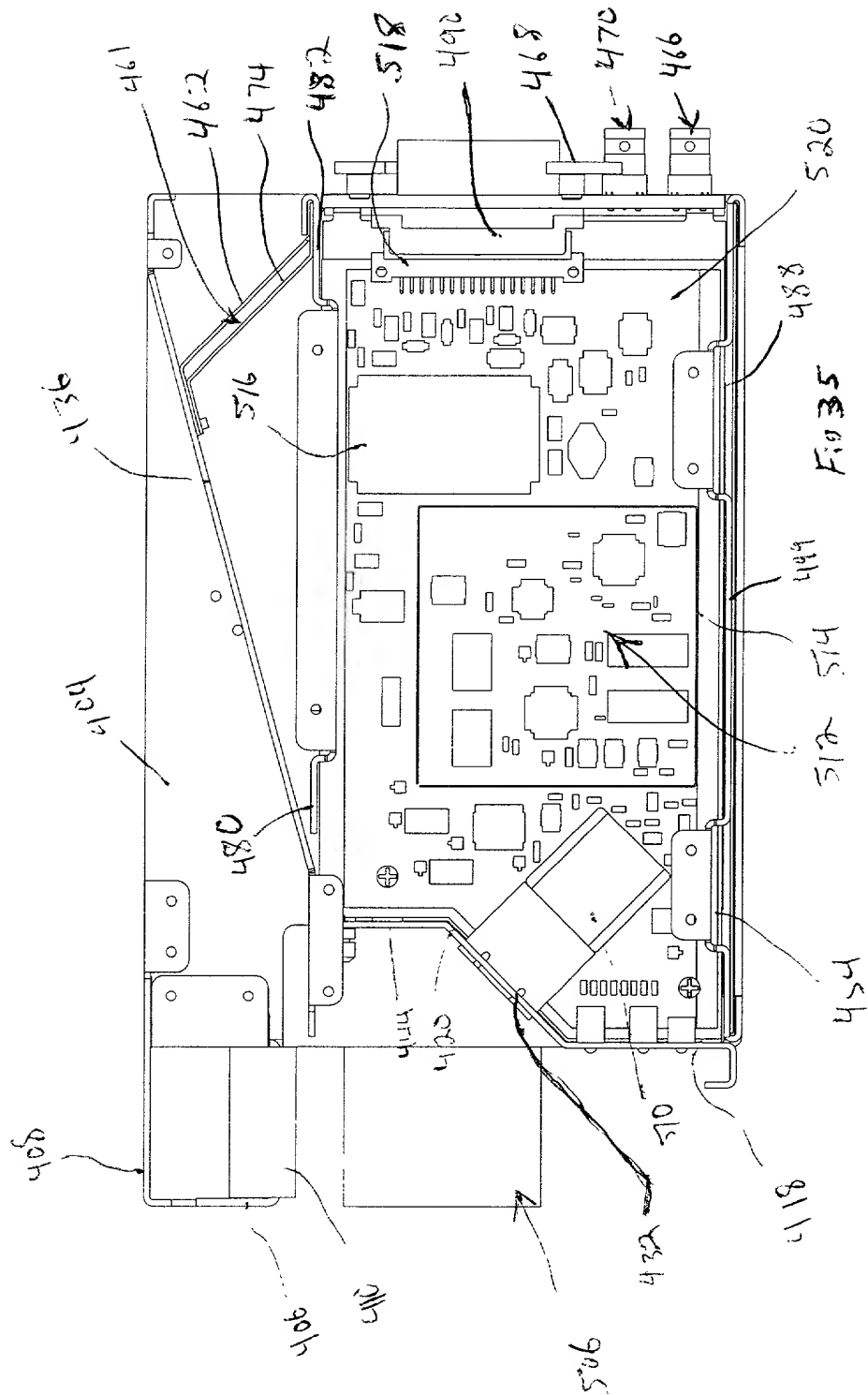


Fig. 30



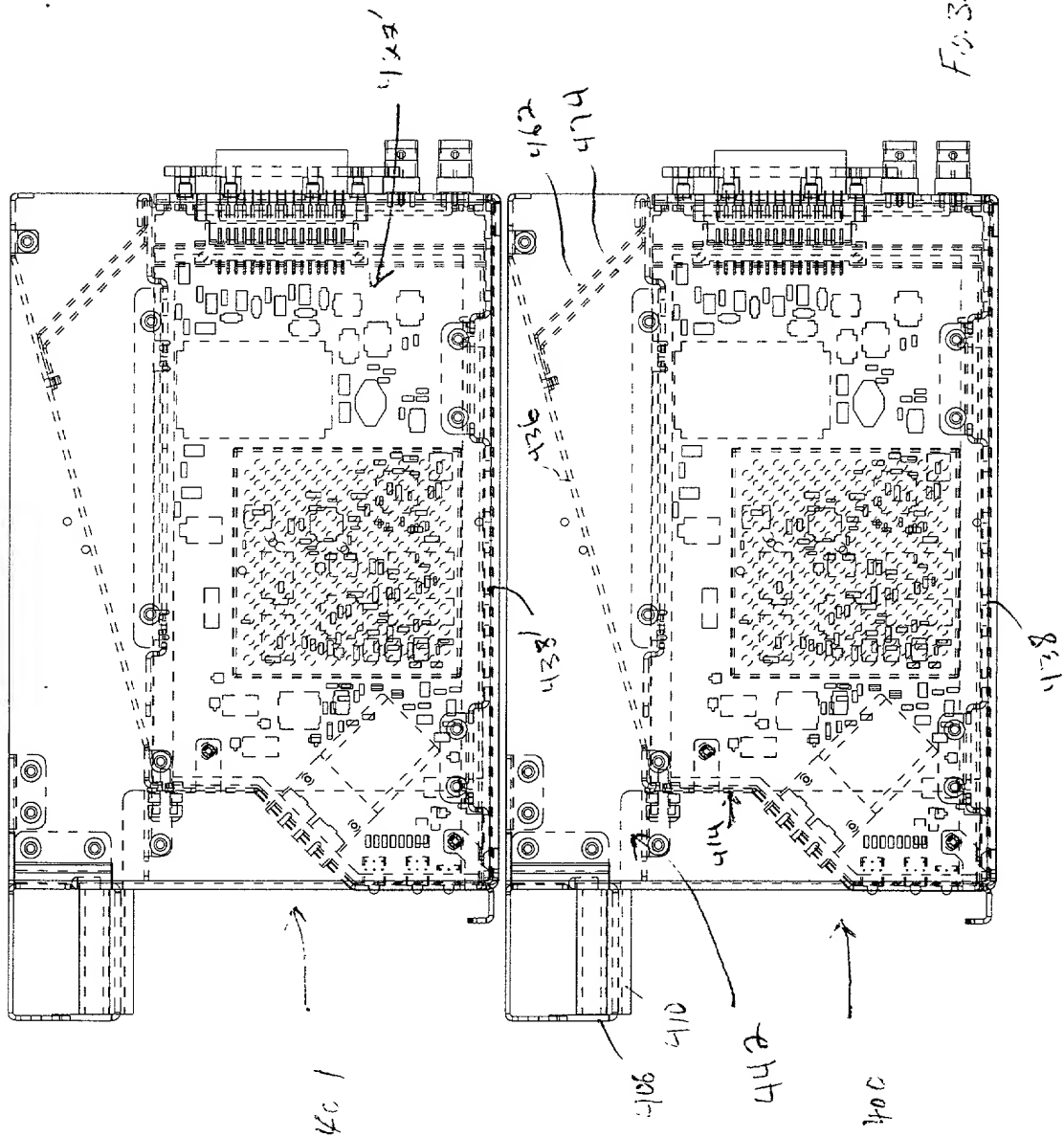
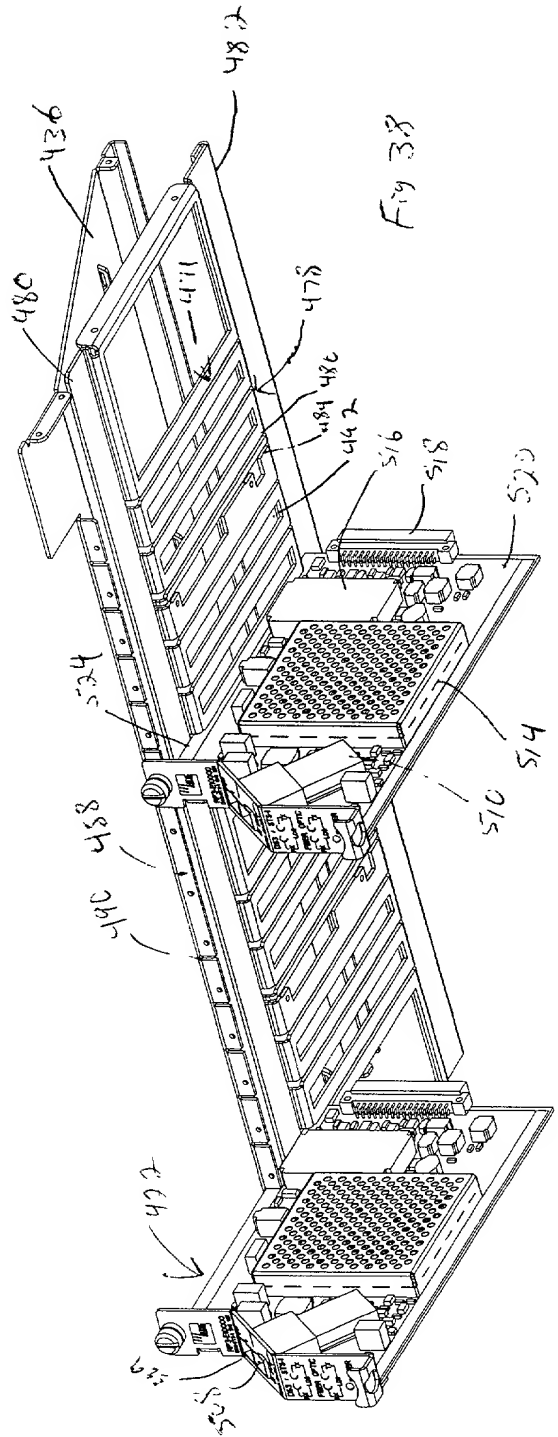
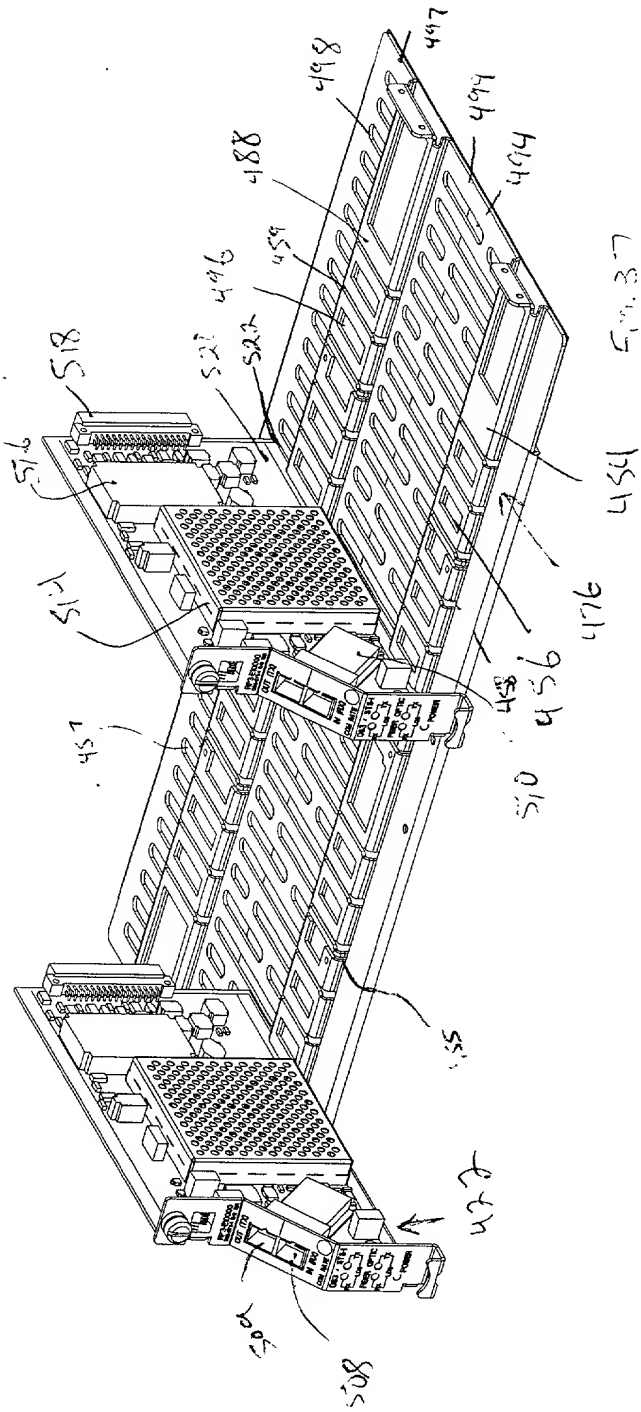
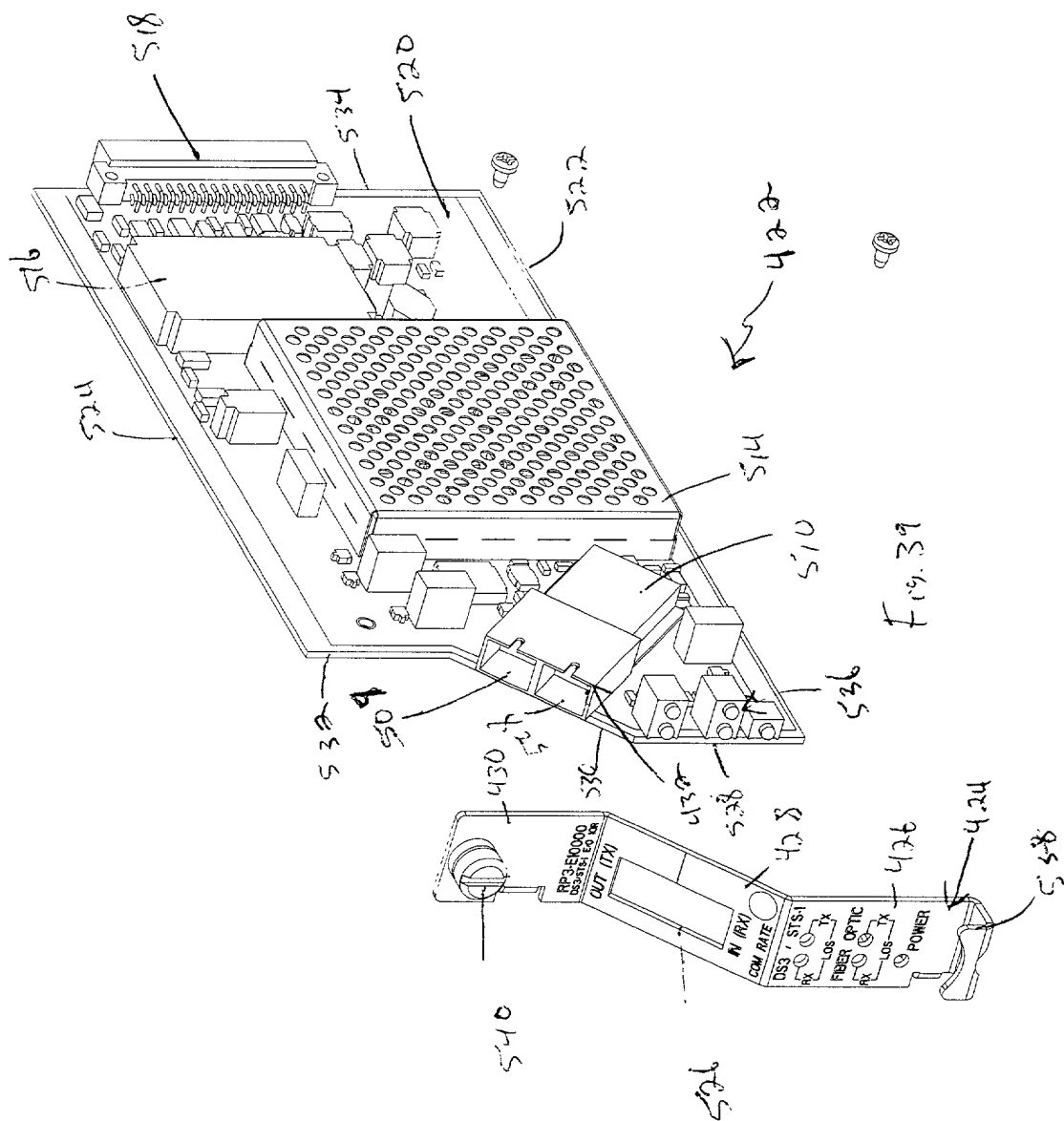
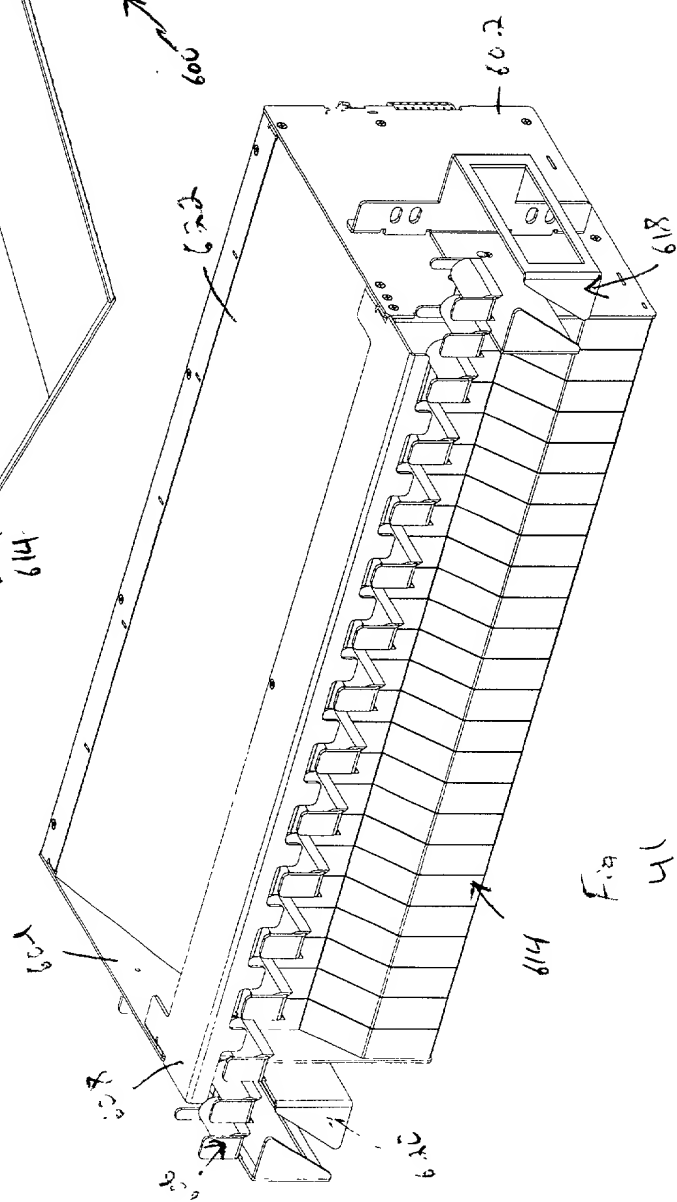
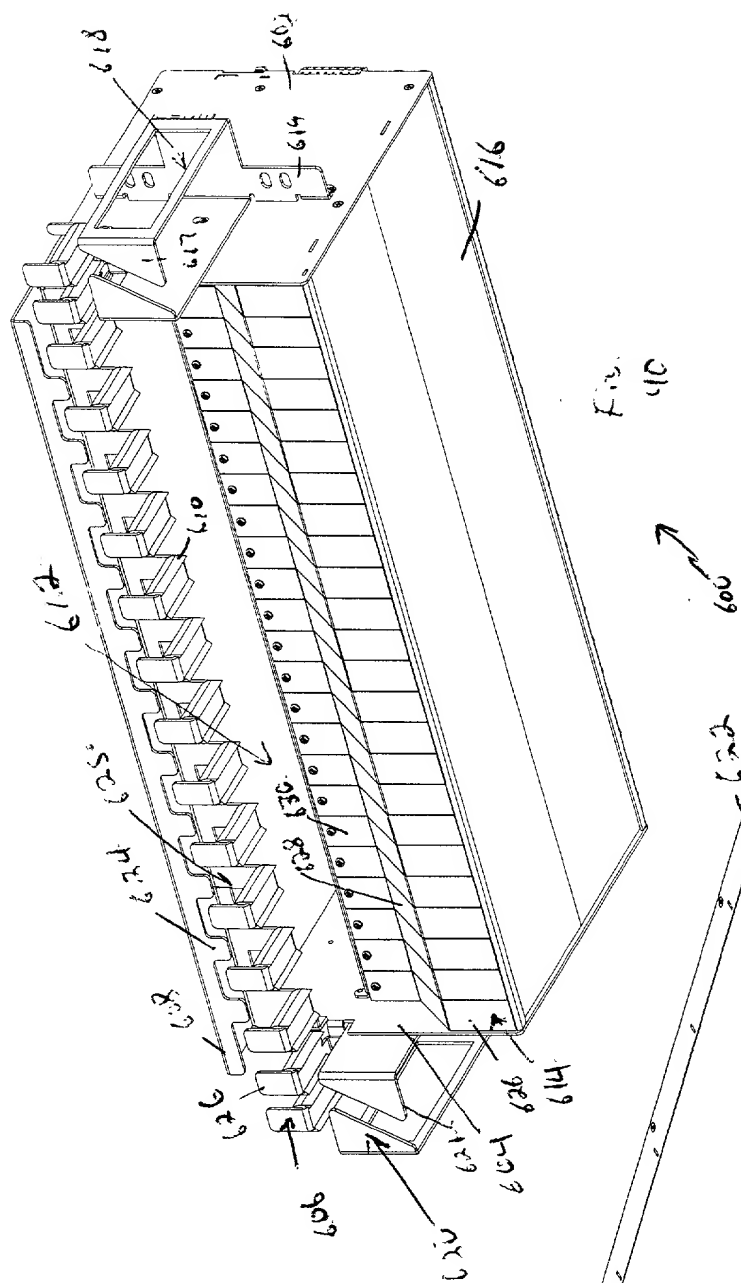


FIG. 36







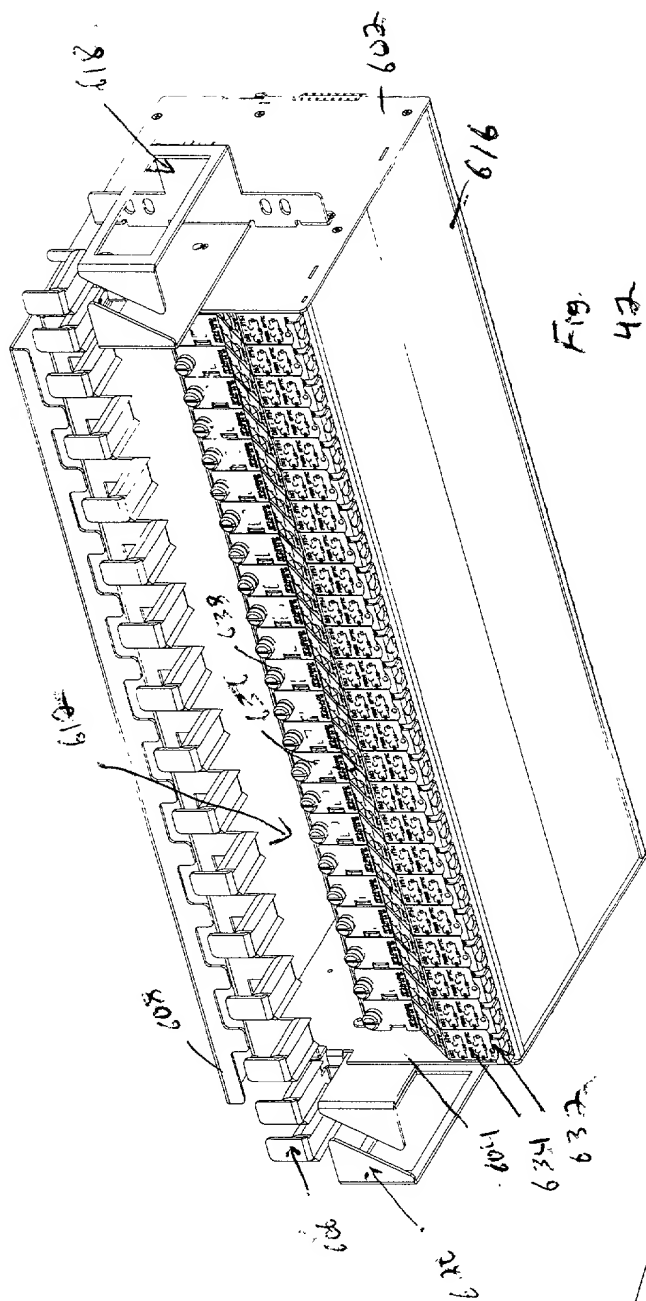


Fig. 42

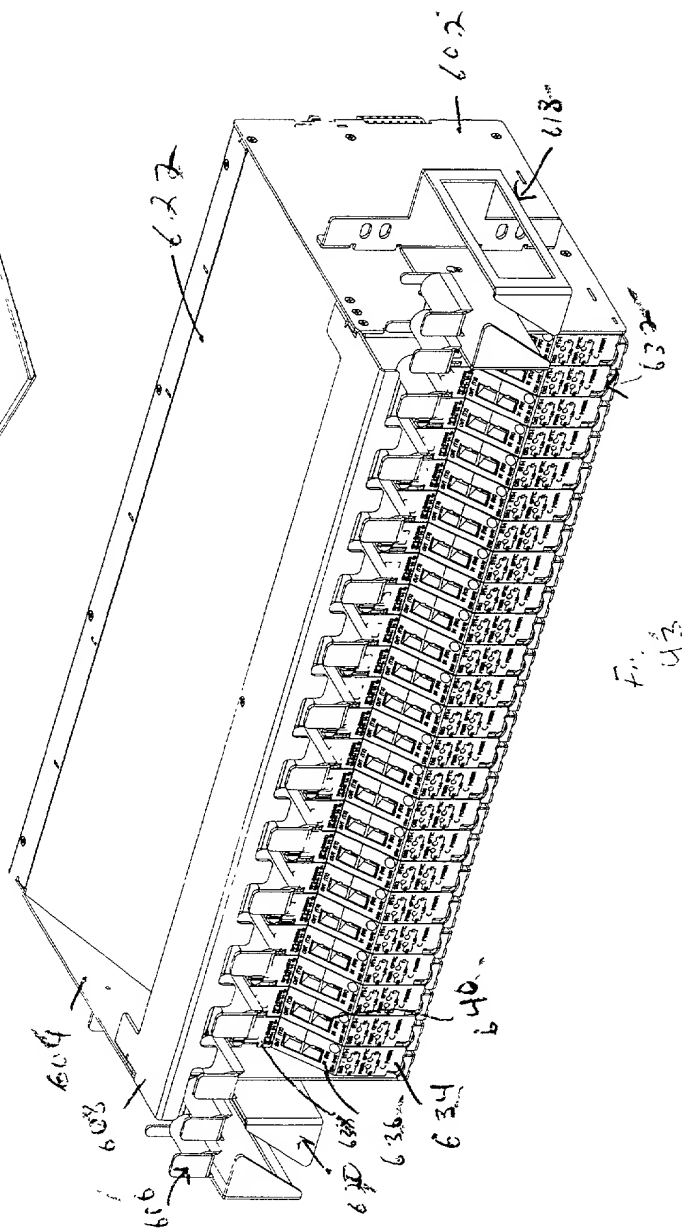


Fig. 43

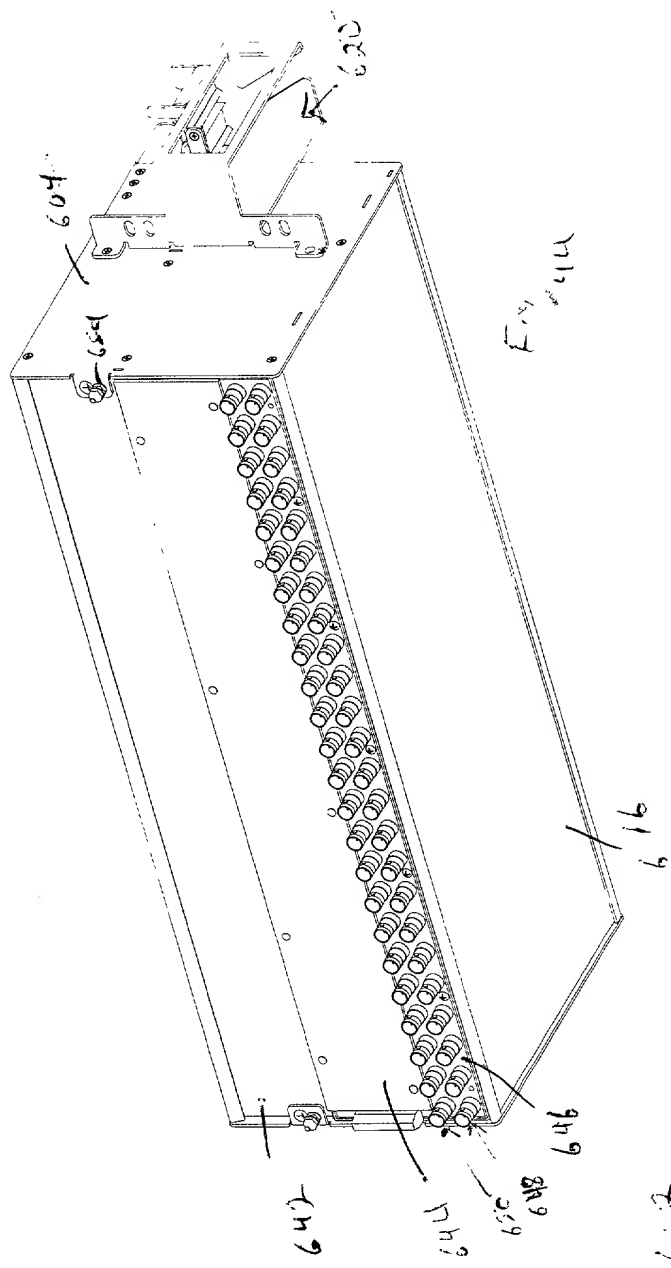


Fig. 11

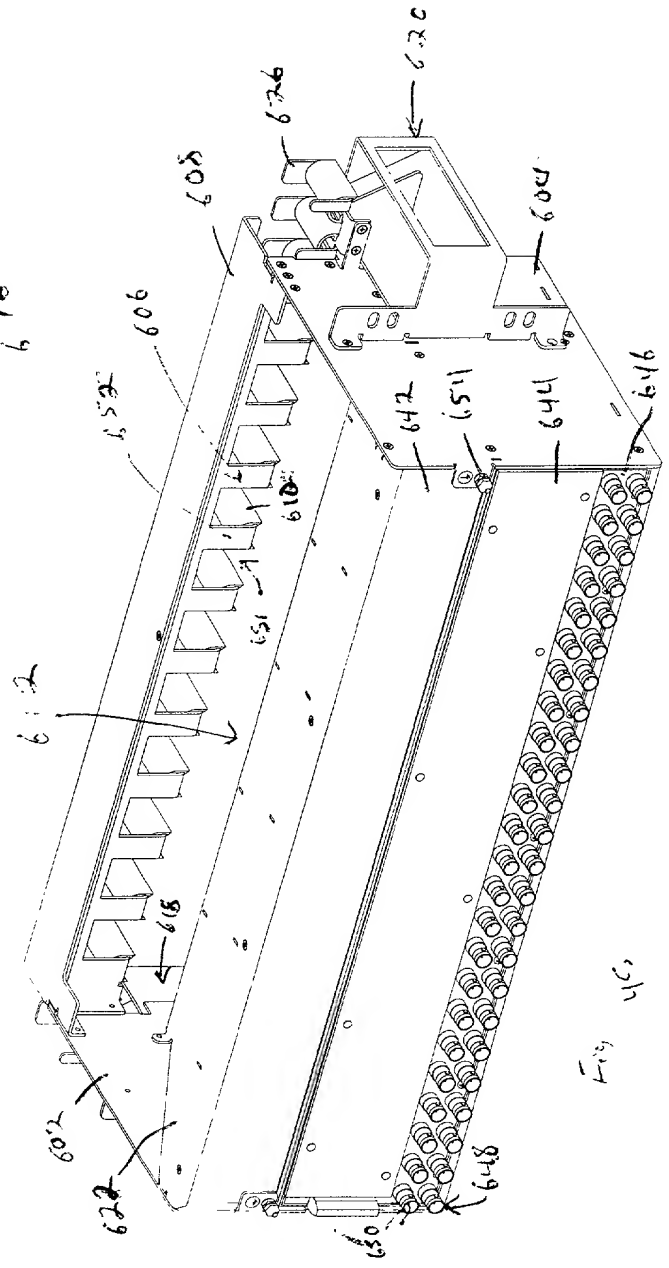


Fig. 12

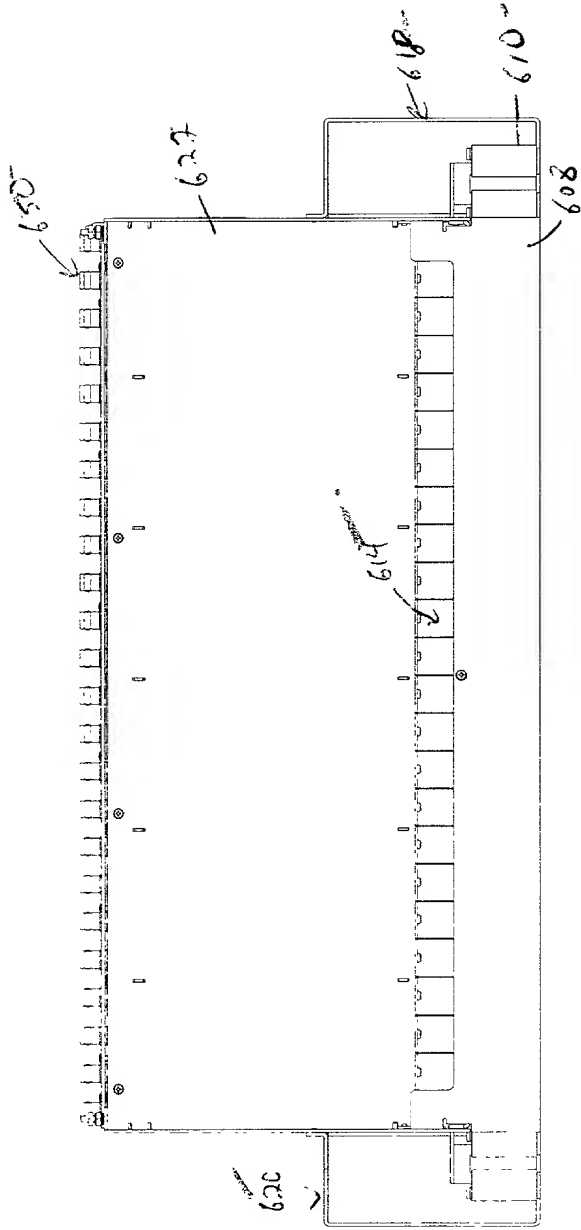


Fig. 48

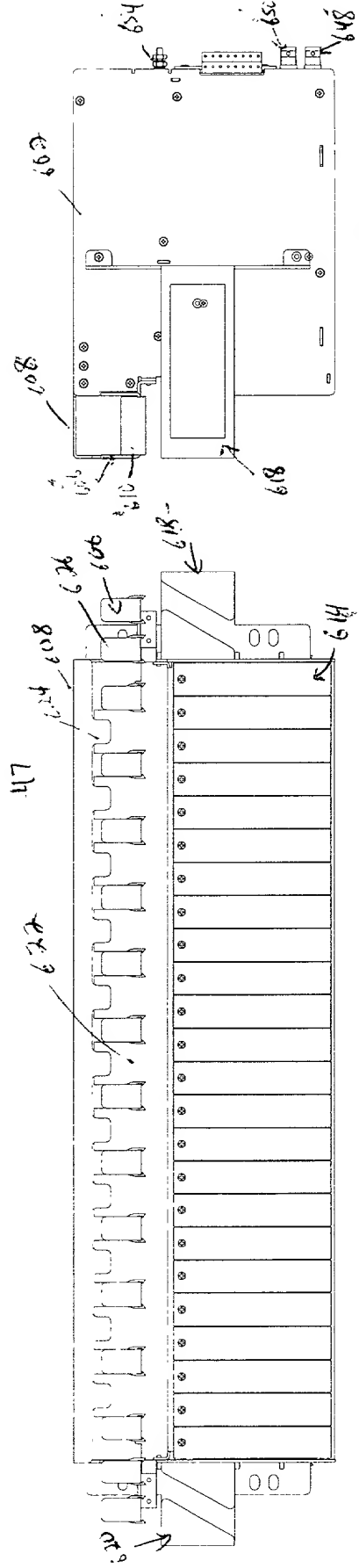
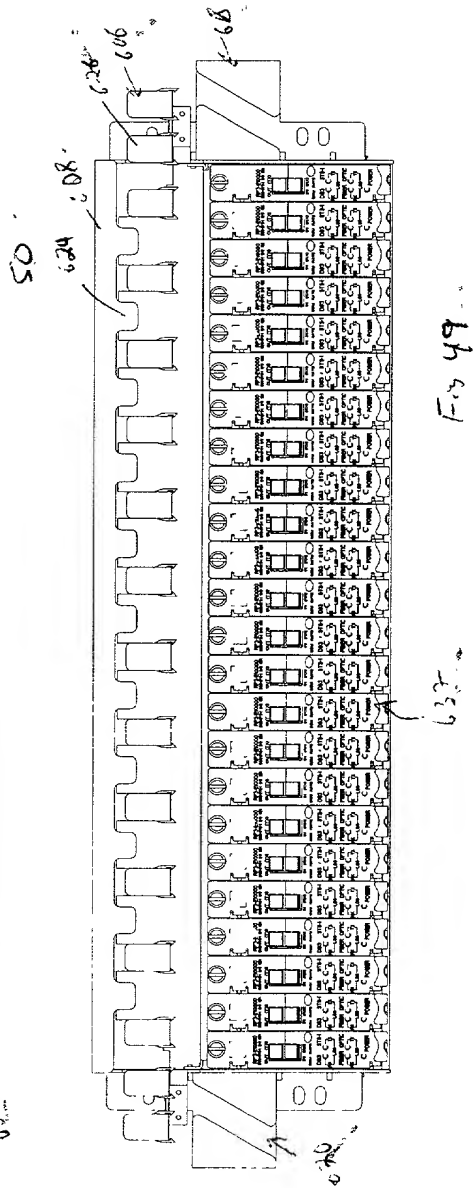
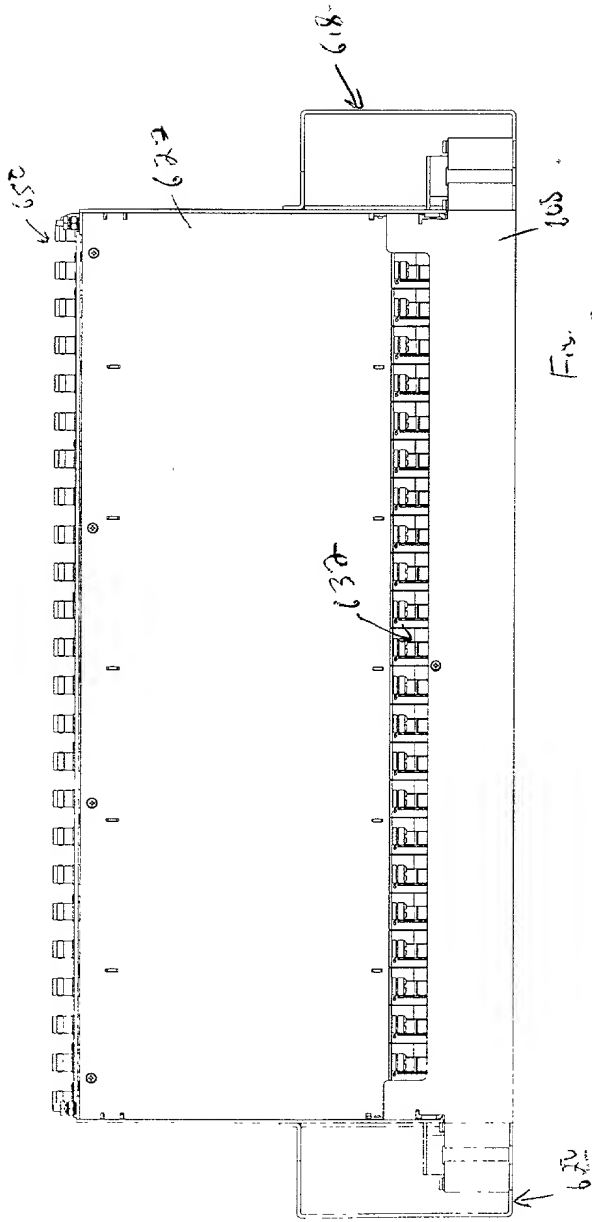
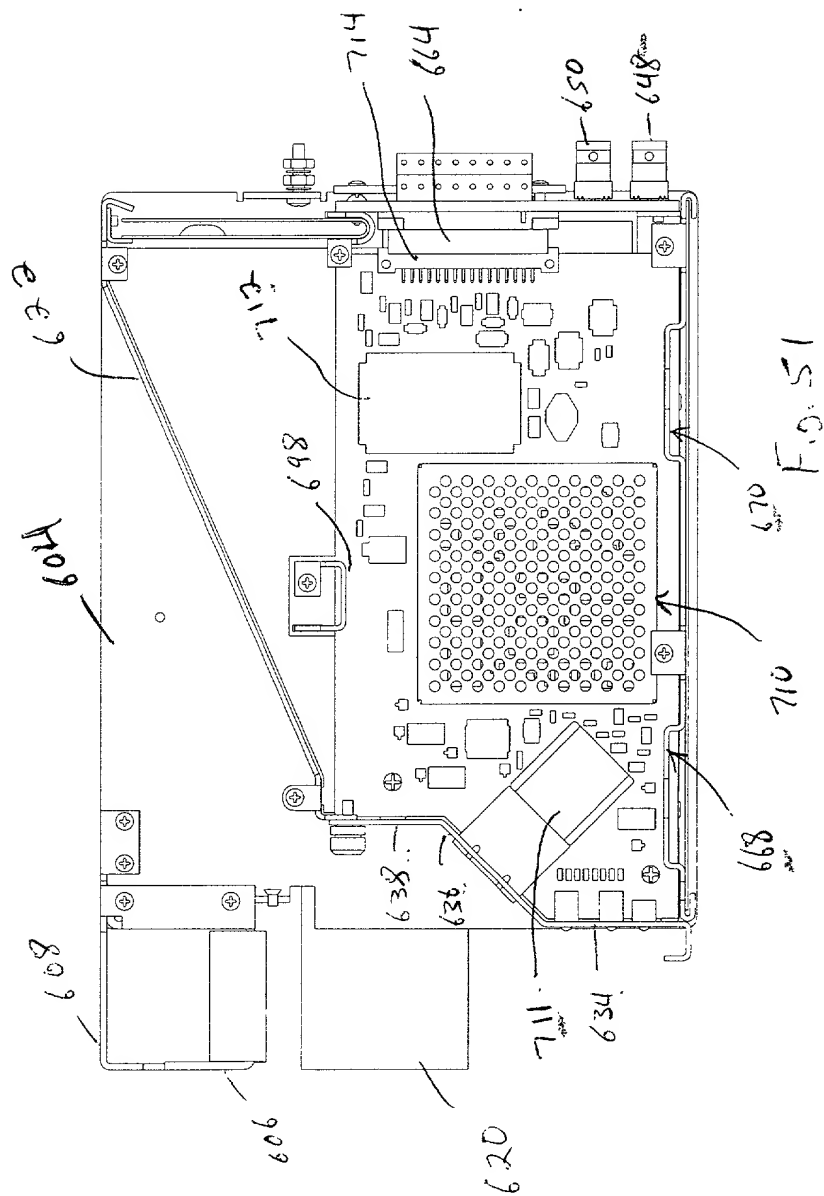


Fig. 49





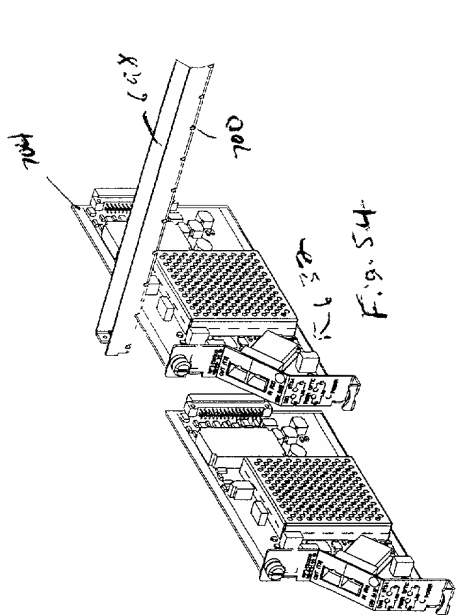


Fig. 54

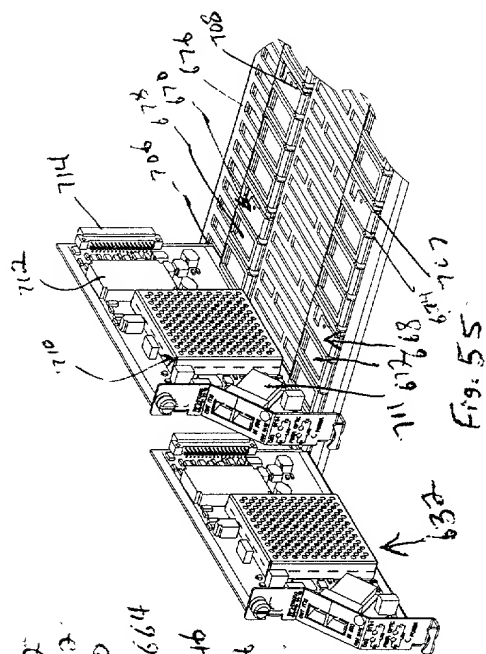


Fig. 55

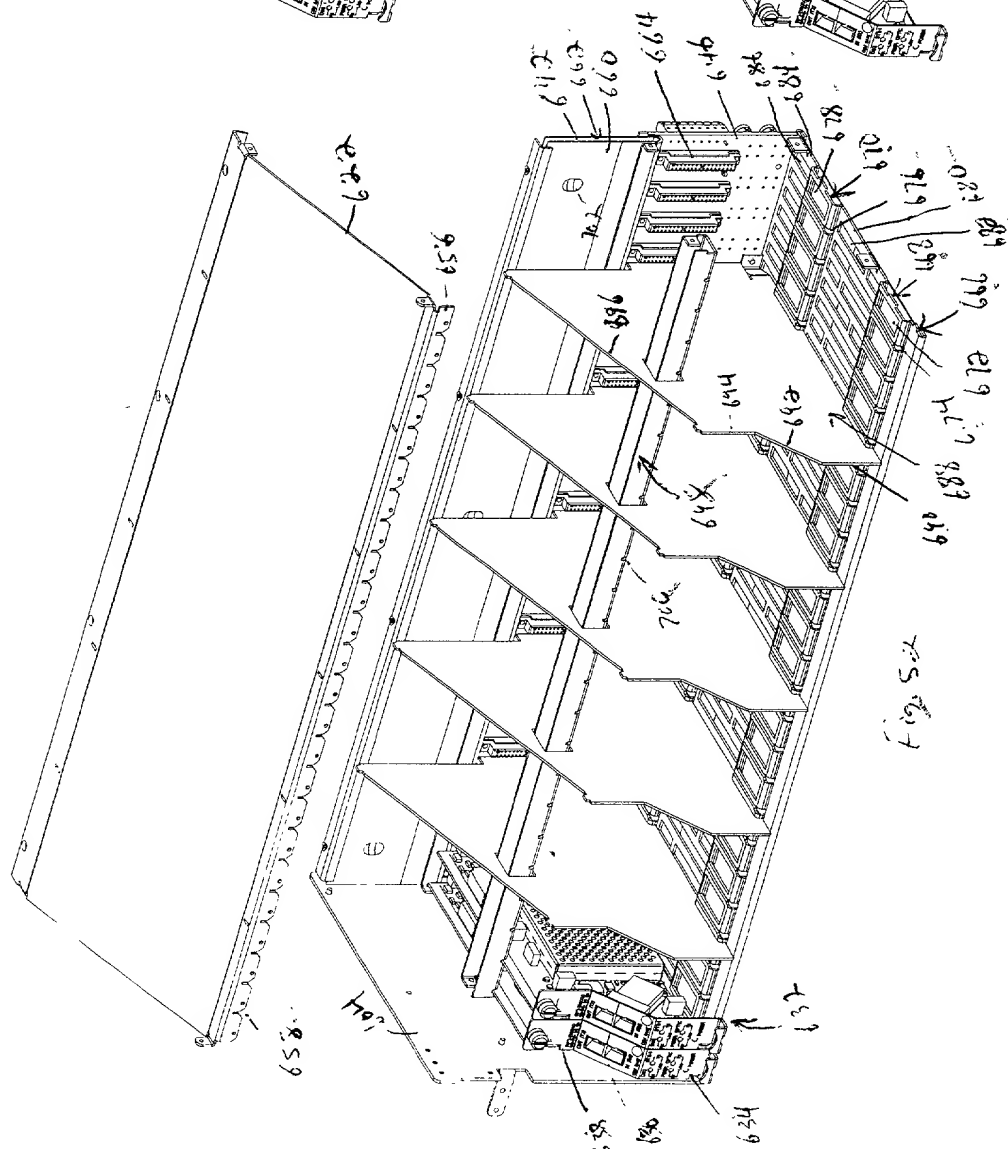
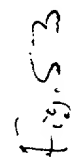


Fig. 56



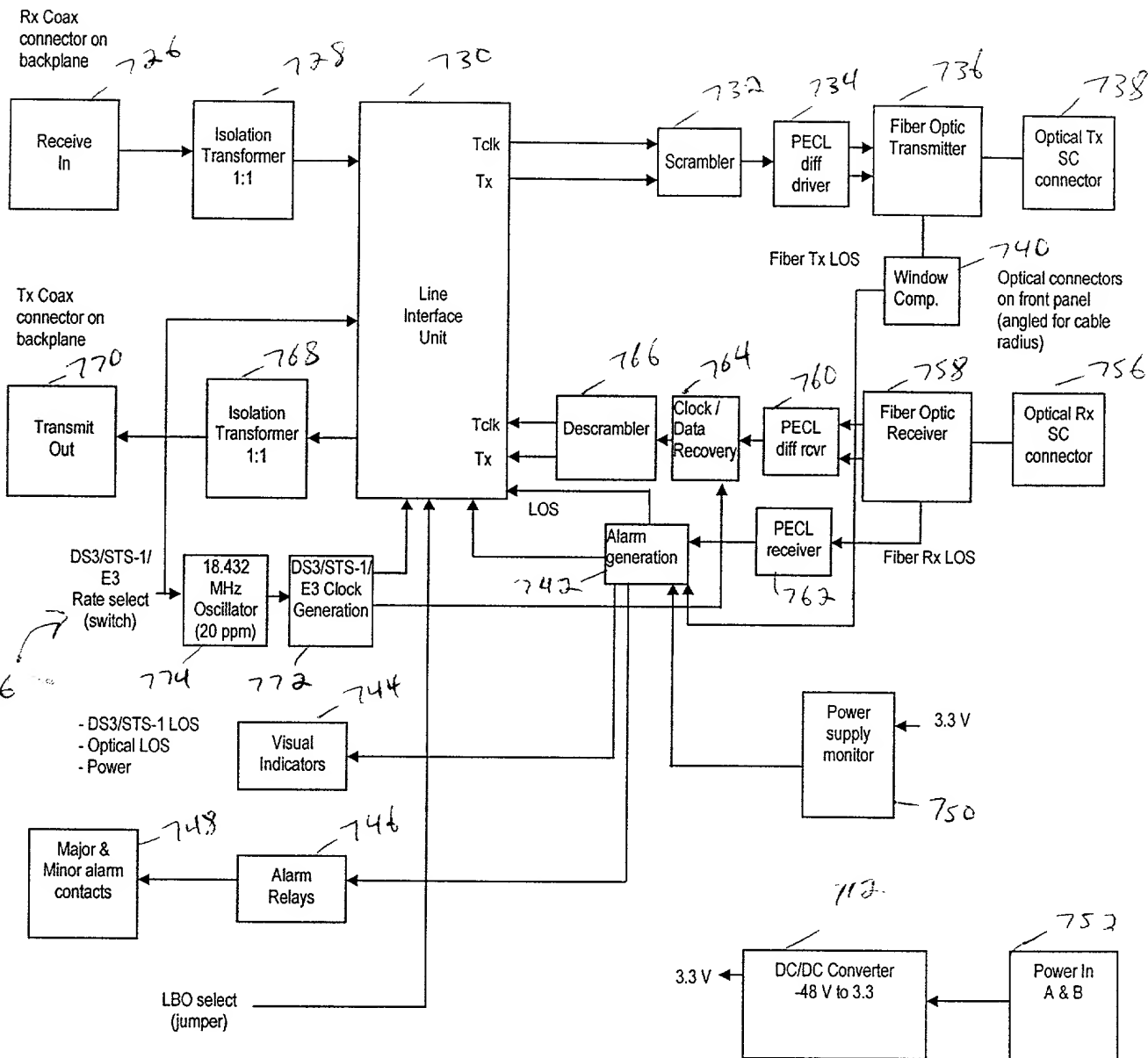


Fig. 56